

See discussions, stats, and author profiles for this publication at: <https://www.researchgate.net/publication/280621436>

# Эволюция вращений спутника относительно центра масс под действием гравитационного момента и момента сил сопротивления

Article · January 2006

CITATIONS

0

READS

43

3 authors, including:



Dmytro Leshchenko

Odessa State Academy of Civil Engineering and Architecture

217 PUBLICATIONS 224 CITATIONS

[SEE PROFILE](#)



Leonid D Akulenko

Russian Academy of Sciences

535 PUBLICATIONS 1,129 CITATIONS

[SEE PROFILE](#)

Some of the authors of this publication are also working on these related projects:



Homogenization in optimal control problems [View project](#)



Numerical solution of eigenproblems [View project](#)

# ЧЕТВЕРТЫЕ ПОЛЯХОВСКИЕ ЧТЕНИЯ

ИЗБРАННЫЕ ТРУДЫ

Санкт-Петербург  
2006

УДК 531+532+533+534+539

Редакционная коллегия: акад. РАН *Н. Ф. Морозов* (СПбГУ,  
отв. редактор), проф. *Е. В. Кустова* (СПбГУ, техн. редактор),  
проф. *С. А. Зегжеда* (СПбГУ), проф. *С. К. Матвеев* (СПбГУ),  
проф. *А. А. Тихонов* (СПбГУ), засл. деятель науки РФ *П. Е. Тоб-  
стик* (СПбГУ), проф. *М. П. Юшков* (СПбГУ), ст. научный сотр.  
*А. Ф. Полянский* (НИИММ СПбГУ)

**Четвертые Поляховские чтения:** Избранные труды.  
СПб.: Издательство "ВВМ", 2006. 702 с.

ISBN

В сборник включены избранные доклады, представленные на Международной научной конференции "Четвертые Поляховские чтения", проходившей в Санкт-Петербурге 7–10 февраля 2006 г. Рассматриваются вопросы теоретической и прикладной механики, динамики космического полета, механики жидкости и газа, механики деформируемого твердого тела, истории механики.

Издание осуществлено при финансовой поддержке Российского фонда фундаментальных исследований (проект №06-01-10009) и INTAS (проект №05-116-5164)

© Коллектив  
авторов, 2006  
© Изд-во ВВМ, 2006

ISBN

Л. Д. Акуленко<sup>1</sup>, Д. Д. Лещенко<sup>2</sup>, А. Л. Рачинская<sup>2</sup>

**ЭВОЛЮЦИЯ ВРАЩЕНИЙ СПУТНИКА  
ОТНОСИТЕЛЬНО ЦЕНТРА МАСС ПОД ДЕЙСТВИЕМ  
ГРАВИТАЦИОННОГО МОМЕНТА И МОМЕНТА СИЛ  
СОПРОТИВЛЕНИЯ**

<sup>1</sup>Институт проблем механики РАН

<sup>2</sup>Одесская государственная академия строительства и  
архитектуры  
e-mail: rachinskaya@onu.edu.ua

Рассмотрим движение спутника относительно центра масс под действием совместного влияния моментов сил гравитационного притяжения и сопротивления. Исследование вращательных движений тел относительно неподвижной точки под действием возмущающих моментов сил различной природы (гравитационных, аэродинамических, сопротивления и др.), близкому к приводимому ниже, посвящены работы [1–6].

Введем три декартовые системы координат, начало которых совместим с центром инерции спутника [1,2]. Система координат  $Ox_i$  ( $i = \overline{1,3}$ ) движется поступательно вместе с центром инерции: ось  $Ox_1$  параллельна радиусу-вектору перигея орбиты, ось  $Ox_2$  — вектору скорости центра масс спутника в перигее, ось  $Ox_3$  — нормали к плоскости орбиты. Система координат  $Oy_i$  ( $i = \overline{1,3}$ ) связана со спутником и ориентирована по вектору кинетического момента  $G$ . Ось  $Oy_3$  направлена по вектору кинетического момента  $G$ , ось  $Oy_2$  лежит в плоскости орбиты, ось  $Oy_1$  лежит в плоскости  $Ox_3$  и направлена так, что векторы  $y_1$ ,  $y_2$ ,  $y_3$  образуют правую тройку [1–3]. Оси системы координат  $Oz_i$  ( $i = \overline{1,3}$ ) связаны с главными центральными осями инерции твердого тела. Взаимное положение главных центральных осей инерции и осей  $Oy_i$  определим углами Эйлера. При этом направляющие косинусы  $\alpha_{ij}$  осей  $z_i$  относительно системы  $Oy_i$  выражаются через углы Эйлера  $\varphi$ ,  $\psi$ ,  $\theta$  по известным формулам [1]. Положение вектора кинетического момента  $G$  относительно его центра масс в системе координат  $Ox_i$  определяются углами  $\lambda$  и  $\delta$ , как показано в [1–3].

Уравнения движения тела относительно центра масс запишем в

---

© Л. Д. Акуленко, Д. Д. Лещенко, А. Л. Рачинская, 2006.

форме [2]:

$$\begin{aligned} \frac{dG}{dt} &= L_3, \quad \frac{d\delta}{dt} = \frac{L_1}{G}, \quad \frac{d\lambda}{dt} = \frac{L_2}{G \sin \delta} \\ \frac{d\theta}{dt} &= G \sin \theta \sin \varphi \cos \varphi \left( \frac{1}{A_1} - \frac{1}{A_2} \right) + \frac{L_2 \cos \psi - L_1 \sin \psi}{G} \\ \frac{d\varphi}{dt} &= G \cos \theta \left( \frac{1}{A_3} - \frac{\sin^2 \varphi}{A_1} - \frac{\cos^2 \varphi}{A_2} \right) + \frac{L_1 \cos \psi + L_2 \sin \psi}{G \sin \theta} \\ \frac{d\psi}{dt} &= G \left( \frac{\sin^2 \varphi}{A_1} + \frac{\cos^2 \varphi}{A_2} \right) - \frac{L_1 \cos \psi + L_2 \sin \psi}{G} \operatorname{ctg} \theta - \frac{L_2}{G} \operatorname{ctg} \delta. \end{aligned} \quad (1)$$

Здесь  $L_i$  — моменты внешних сил относительно осей  $Oy_i$ ,  $G$  — величина кинетического момента,  $A_i$  ( $i = \overline{1, 3}$ ) — главные центральные моменты инерции относительно осей  $Oz_i$ .

Проекции  $L_i$  момента внешних сил, складывающихся из гравитационного момента  $L_i^{(g)}$  и момента сил внешнего сопротивления  $L_i^{(c)}$ , на оси  $Oy_i$  записываются в виде [2,5]. Здесь приведена проекция на ось  $Oy_1$ , на другие оси проекции имеют аналогичный вид

$$L_1 = \frac{3\omega_0^2 (1 + e \cos \theta)^3}{(1 - e^2)^3} \sum_{j=1}^3 (\beta_2 \beta_j S_{3j} - \beta_3 \beta_j S_{2j}) - G \sum_{i=1}^3 \left( \frac{I_{i1} \alpha_{1i} \alpha_{31}}{A_1} + \frac{I_{i2} \alpha_{1i} \alpha_{32}}{A_2} + \frac{I_{i3} \alpha_{1i} \alpha_{33}}{A_3} \right) \quad (2)$$

где согласно [2]

$$\begin{aligned} S_{mj} &= \sum_{p=1}^3 A_p \alpha_{jp} \alpha_{mp}, \quad \beta_1 = \cos(\nu - \lambda) \cos \delta \\ \beta_2 &= \sin(\nu - \lambda), \quad \beta_3 = \cos(\nu - \lambda) \sin \delta, \end{aligned} \quad (3)$$

$\omega_0$  — угловая скорость орбитального движения,  $e$  — эксцентриситет орбиты.

В некоторых случаях удобно наряду с переменной  $\theta$  использовать в качестве переменной кинетическую энергию  $T$ .

Центр масс спутника движется по кеплеровскому эллипсу с эксцентриситетом  $e$  и периодом обращения  $Q$ . Зависимость истинной

аномалии  $\nu$  от времени  $t$  дается соотношением

$$\frac{d\nu}{dt} = \frac{\omega_0(1 + e \cos \nu)^2}{(1 - e^2)^{3/2}}, \quad \omega_0 = \frac{2\pi}{Q}. \quad (4)$$

Рассматривается динамически несимметричный спутник, моменты инерции которого для определенности удовлетворяют неравенству  $A_1 > A_2 > A_3$ , в предположении, что угловая скорость  $\omega$  движения спутника относительно центра масс существенно больше угловой скорости орбитального движения  $\omega_0$ , т.е.  $\varepsilon = \omega_0/\omega \sim A_1\omega_0/G \ll 1$ . В этом случае кинетическая энергия вращения тела велика по сравнению с моментами гравитационных сил.

В работе предполагается, что момент сопротивления  $L^{(e)}$  может быть представлен в виде  $L^{(e)} = I\omega$ , где тензор  $I$  имеет постоянные компоненты  $I_{ij}$  в системе  $Oz_i$ , связанной с телом [1,5]. Сопротивление среды предполагаем слабым порядка малости  $\varepsilon$ :  $\|I\|/G_0 \sim \varepsilon \ll 1$ , где  $\|I\|$  — норма матрицы коэффициентов сопротивления,  $G_0$  — кинетический момент спутника в начальный момент времени.

Исследуем решение системы (1)–(4) при малом  $\varepsilon$  на большом промежутке времени  $t \sim \varepsilon^{-1}$ . Для решения задачи будем применять метод усреднения [7]. Медленными переменными в этом случае будут  $G$ ,  $\delta$ ,  $\lambda$ ,  $T$ ,  $\nu$ , а быстрыми — углы Эйлера  $\varphi$ ,  $\psi$ ,  $\theta$ .

Рассмотрим движение при условии  $2TA_1 \geq G^2 \geq 2TA_2$ , соответствующем траекториям вектора кинетического момента, охватывающим ось  $Oz_1$  [8]. Введем величину

$$k^2 = \frac{(A_2 - A_3)(2TA_1 - G^2)}{(A_1 - A_2)(G^2 - 2TA_3)}, \quad (0 \leq k^2 \leq 1) \quad (5)$$

представляющую собой в невозмущенном движении постоянную — модуль эллиптических функций.

Для построения усредненной системы первого приближения подставим решение невозмущенного движения Эйлера-Пуансо [8] в правые части уравнений (1) и проведем усреднение по переменной  $\psi$ , а затем по времени  $t$  с учетом зависимости  $\varphi$ ,  $\theta$  от  $t$  [2]. При этом для медленных переменных сохраняются прежние обозначения. В

результате получим

$$\begin{aligned}
 \frac{d\delta}{dt} &= -\frac{3\omega_0^2(1+e\cos\nu)^3}{2G(1-e^2)^3}\beta_2\beta_3N, \quad \frac{d\lambda}{dt} = \frac{3\omega_0^2(1+e\cos\nu)^3}{2G(1-e^2)^3\sin\delta}\beta_1\beta_3N \\
 \frac{dG}{dt} &= -\frac{G}{R(k)} \left\{ I_{22}(A_1-A_3)W(k) + \right. \\
 &\quad \left. + I_{33}(A_1-A_2)[k^2-W(k)] + I_{11}(A_2-A_3)[1-W(k)] \right\} \\
 W(k) &= 1 - \frac{E(k)}{K(k)}, \quad R(k) = A_1(A_2-A_3) + A_3(A_1-A_2)k^2 \\
 N &= A_2 + A_3 - 2A_1 + 3\left(\frac{2A_1T}{G^2}-1\right) \times \\
 &\quad \times \left[ A_3 + (A_2-A_3)\frac{K(k)-E(k)}{K(k)k^2} \right]. \tag{6}
 \end{aligned}$$

Запись уравнения  $dT/dt$  не приводится из-за громоздкости. Здесь  $E(k)$  и  $K(k)$  — полные эллиптические интегралы первого и второго рода соответственно. Дифференцируя выражение (5) для  $k^2$  и используя уравнение (6) для  $dG/dt$  и  $dT/dt$ , получим дифференциальное уравнение

$$\begin{aligned}
 \frac{dk^2}{d\xi} &= (1-\chi)(1-k^2) - [(1-\chi)+(1-\chi)k^2]\frac{E(k)}{K(k)} \tag{7} \\
 \chi &= (2I_{22}A_1A_3 - I_{11}A_2A_3 - I_{33}A_1A_2)/[(I_{33}A_1 - I_{11}A_3)A_2] \\
 \xi &= (t-t_*)/N, \quad N = A_1A_3/(I_{33}A_1 - I_{11}A_3).
 \end{aligned}$$

Здесь  $t_*$  — постоянная. Значению  $k^2 = 1$  отвечает равенство  $2TA_2 = G^2$ , что соответствует сепаратрисе для движения Эйлера-Пуансо. Если для некоторого решения уравнения (7) равенство  $k^2 = 1$  достигается, то выберем  $t_*$  так, чтобы  $k^2 = 1$  при  $\xi = 0$ ,  $t = t_*$ .

Из уравнений (6) следует, что под влиянием сопротивления среды происходит эволюция величины кинетического момента  $G$ . Непосредственно видно, что в первом приближении на его изменение оказывает влияние только сила сопротивления, причем в уравнение входят лишь диагональные коэффициенты  $I_{ii}$  матрицы момента трения. Члены, содержащие недиагональные компоненты  $I_{ij}$  ( $i \neq j$ ), выпадают при усреднении. Изменения углов  $\lambda$ ,  $\delta$  зависят как от действия силы сопротивления, так и гравитационного притяжения.

Уравнение (7) описывает усредненное движение конца вектора кинетического момента  $\mathbf{G}$  на сфере радиуса  $G$ . Третье уравнение (6) описывает изменение радиуса сферы с течением времени.

Выражение, стоящее в фигурных скобках правой части уравнения (6) для  $G$  положительно (при  $A_1 > A_2 > A_3$ ), так как справедливы неравенства  $(1 - k^2)K \leq E \leq K$  [9]. Каждый коэффициент при  $I_{ii}$  является неотрицательной функцией  $k^2$ , причем одновременно они все в нуль обратиться не могут. Поэтому  $dG/dt < 0$  поскольку  $G > 0$ , т.е. переменная  $G$  строго убывает для любых  $k^2 \in [0, 1]$ . Аналогично показывается, что кинетическая энергия также строго убывает.

Основным этапом в исследовании движения тела является анализ уравнения (7). Отметим, что на эволюцию  $k^2$  оказывает влияние только сопротивление среды, и в силу того, что это уравнение интегрируется самостоятельно, происходит частичное разделение влияния гравитационного момента и момента сопротивления. Полное разделение в данном случае не имеет места, так как медленно убывающие переменные  $G, T$  входят в правые части уравнений (6) для  $\lambda$  и  $\delta$ . Уравнение (7) совпадает с аналогичным, полученным для движения тяжелого твердого тела в сопротивляющейся среде [5] и с уравнением, полученным для случая свободного пространственного движения тела с полостью, заполненной жидкостью большой вязкости [10]. Численное интегрирование уравнения (7) при начальном условии  $k^2(0) \approx 1$  показывает, что функция  $k^2$  монотонно убывает с ростом  $\xi$ , причем тем быстрее, чем больше  $\chi$ . Представляет интерес в будущем исследование существования и устойчивости квазистационарных движений.

Рассмотрим систему, состоящую из первых двух уравнений системы (6) и уравнения (4). Их можно записать следующим образом:

$$\begin{aligned}\dot{\delta} &= \omega_0^2 \Delta(\nu, \delta, \lambda), \quad \dot{\lambda} = \omega_0^2 \Lambda(\nu, \delta, \lambda) \\ \dot{\nu} &= \frac{\omega_0}{h(e)} (1 + e \cos \nu)^2 \quad h(e) = (1 - e^2)^{3/2}.\end{aligned}$$

Здесь  $\Delta, \Lambda$  — правые части первых двух уравнений (6).

Получена система вида [11], для решения которой применяется модифицированный метод усреднения по следующей схеме [10].

$$\dot{\delta} = \frac{\omega_0^2 h(e)}{2\pi} \int_0^{2\pi} \frac{\Delta(\lambda, \delta, \nu)}{(1 + e \cos \nu)^2} d\nu, \quad \dot{\lambda} = \frac{\omega_0^2 h(e)}{2\pi} \int_0^{2\pi} \frac{\Lambda(\lambda, \delta, \nu)}{(1 + e \cos \nu)^2} d\nu.$$

После усреднения получим

$$\dot{\delta} = 0, \quad \dot{\lambda} = \frac{3\omega_0 \cos \delta N}{4G(1 - e^2)^{3/2}}. \quad (8)$$

Для медленных усредненных переменных сохраняются прежние обозначения. Отметим, что действие приложенных сил не приводит к изменению угловой переменной  $\delta$  и отклонение вектора  $G$  от вертикали остается постоянным в указанном приближении.

Полученную систему уравнений (8), два уравнения системы (6) для кинетического момента и кинетической энергии, уравнение для  $k^2$  можно численно проинтегрировать при начальных условиях  $G^2(0) = 2$ ,  $k^2(0) = 0.99$ ,  $\omega(0) = 0.0011775$  рад/с,  $\delta(0) = 0.785$  рад,  $\lambda(0) = 0.785$  рад, и значениях главных центральных моментов инерции тела  $A_1 = 3.2$ ,  $A_2 = 2.6$ ,  $A_3 = 1.67$ . Численный расчет выполнялся для различных видов орбит с эксцентриситетом:  $e = 0$  — круговая орбита;  $e = 0.04473$  — 1-й советский спутник;  $e = 0.0487$  — 3-й советский спутник;  $e = 0.421$  — сильно эллиптическая орбита [1]. Для коэффициентов сопротивления рассматривались два возможных варианта:  $I_{11} = 2.322$ ;  $I_{22} = 1.31$ ;  $I_{33} = 1.425$  и  $I_{11} = 0.919$ ;  $I_{22} = 5.228$ ;  $I_{33} = 1.666$ . В первом случае величина  $\chi$  уравнения (7) была отрицательной  $-4.477$ , а во втором  $\chi = 3.853$ . Численный анализ показывает, что функции  $G(t)$  и  $T(t)$  являются монотонно убывающими (рис. 1). Видно, что при положительной величине  $\chi$  (кривые 2) функции убывают быстрее, но функция  $G(t)$  стремится к асимптоте медленнее за больший промежуток времени. Функция  $\lambda = \lambda(t)$  в обоих расчетных вариантах величины  $\chi$  является убывающей функцией, но в первом варианте убывает быстрее. Необходимо отметить, что при изменении эксцентриситета орбиты в расчетах, в обоих вариантах, увеличение  $e$  приводит к более быстрому убыванию угла  $\lambda$ . На рис. 2 показаны графики функции  $\lambda = \lambda(t)$  при  $e = 0$  (кривая 1) и  $e = 0.421$  (кривая 2) при положительном  $\chi$ . Видно, что со временем величина угла  $\lambda$  уменьшается, т.е. вращение вектора  $G$  в пространстве вокруг нормали к плоскости орбиты происходит на постоянном угловом расстоянии  $\delta$  от нее в направлении по ходу часовой стрелки.

Рассмотрим движение тела при малых  $k^2 \ll 1$ , отвечающих движениям твердого тела, близким к вращениям вокруг оси  $A_1$ . В этом случае правую часть уравнения (7) можно упростить, используя разложения полных эллиптических интегралов в ряды по  $k^2$  [9]. То-

где (7) интегрируется, и асимптотическое решение записывается в виде

$$k^2 = C_1 \exp \left[ -\frac{(3+\chi)\xi}{2} \right] = k_0^2 \exp [-\rho t],$$

$$\rho = \frac{I_{22}}{A_2} + \frac{I_{33}}{A_3} - 2 \frac{I_{11}}{A_1},$$

где  $C_1 > 0$  — постоянная.

В случае малых  $k^2$  аналитическое выражение для величины кинетического момента можно получить в явном виде

$$G = G_0 \exp \left\{ -\frac{I_{11}}{A_1} t + b \exp [-\rho t] \right\}. \quad (9)$$

Аналогичным образом может быть записано выражение для  $T(t)$ .  
Здесь

$$b = \frac{0.5k_0^2}{\rho A_1^2(A_2 - A_3)} [(I_{22} + I_{33})A_1^2 - (I_{11} + I_{22})A_1A_3 - (I_{11} + I_{33})A_1A_2 + 2I_{11}A_2A_3].$$

Решение уравнения (8) для  $\lambda$  с учетом (9) имеет следующий вид

$$\lambda = \frac{\alpha}{\rho} \{ (\mu - d)b^k [-\gamma(-k, b) + \gamma(-k, be^\tau)] - \mu\eta x^k [-\gamma(-k, x) + \gamma(-k, xe^\tau)] \}$$

$$k = \frac{\beta}{\rho}, \quad x = 3b - a, \quad \tau = -\rho t$$

$$\alpha = \frac{3\omega_0^2 \cos \delta}{4(1-e^2)^{3/2}G_0}, \quad \beta = \frac{I_{11}}{A_1}$$

$$\mu = \frac{3}{2}(A_2 + A_3), \quad \eta = \frac{2A_1T_0}{G_0}, \quad d = A_2 + A_3 - 2A_1.$$

Здесь  $\gamma(n, x)$  — неполная гамма-функция [9] и  $b > 0, x > 0$ ,

Представляет интерес исследование системы (6) в случае малых диагональных коэффициентов сопротивления, т.е.

$$I_{11} = \mu i_{11}, \quad I_{22} = \mu i_{22}, \quad I_{33} = \mu i_{33}, \quad \text{где } \mu \ll 1. \quad (10)$$

Решение третьего уравнения системы (6) после интегрирования записывается следующим образом

$$G = G_0 - \frac{G_0 \mu t}{R(k_0)} \left\{ i_{22}(A_1 - A_3)W(k_0) + i_{33}(A_1 - A_2) \times \right. \\ \left. \times [k_0^2 - W(k_0)] + i_{11}(A_2 - A_3)(1 - W(k_0)) \right\}. \quad (11)$$

Решение для  $T$  записывается аналогичным образом. Здесь  $W(k_0)$ ,  $R(k_0)$  — значения функций (6) при  $k = k_0$ . Согласно (11) функции  $G(t)$  и  $T(t)$  являются строго убывающими, как и в случае системы (6).

Для малых моментов сопротивления необходимо так же построить приближенное решение

$$k^2 = k_0^2 + \frac{2\mu t}{A_1 A_2 A_3} \left\{ A_1(i_{33}A_2 - i_{22}A_3)(1 - k_0^2) - \right. \\ \left. - [A_1(i_{33}A_2 - i_{22}A_3) + A_3(i_{22}A_1 - i_{11}A_2)k_0^2] \cdot \frac{E(k_0)}{K(k_0)} \right\}.$$

С помощью формулы для изменения величины кинетического момента (11), проведем анализ направления вектора  $\mathbf{G}$ . Согласно (8) отклонение вектора  $\mathbf{G}$  от вертикали так же остается постоянным, как и в случае малых  $k^2$ , а скорость изменения угла  $\lambda$  зависит от переменной величины  $N$ , которая выражается через кинетический момент  $G$  и кинетическую энергию  $T$ . Тогда для малых моментов сопротивления закон изменения угла  $\lambda$  от времени имеет вид

$$\lambda = \lambda_0 + \frac{3\omega_0^2 \cos \delta N_0 t}{4G_0 (1 - e^2)^{3/2}} + \frac{3\omega_0^2 \cos \delta \mu t^2 \alpha}{8G_0 (1 - e^2)^{3/2}}.$$

Изменение угла  $\lambda = \lambda(t)$  имеет вид квадратической функции от  $t$ , у которой свободный член и коэффициент при первой степени  $t$  выражаются через постоянные величины  $\omega_0$ ,  $N_0$ ,  $G_0$  и  $\cos \delta$ . Все величины являются положительными и задаются в начальный момент времени.

Таким образом, исследовано движение спутника относительно центра масс под действием совместного влияния моментов сил гравитационного притяжения и сопротивления.

## Указатель литературы

- [1] Белецкий В.В. Движение искусственного спутника относительно центра масс. М.: Наука. 1965. 416 с.
- [2] Черноусько Ф.Л. О движении спутника относительно центра масс под действием гравитационных моментов // Прикл. математика и механика. 1963. Т. 27. Вып. 3. С. 474–483.
- [3] Белецкий В.В. Движение спутника относительно центра масс в гравитационном поле. М.: Изд-во МГУ. 1975. 308 с.
- [4] Белецкий В.В., Яншин А.М. Влияние аэродинамических сил на вращательное движение искусственных спутников. Киев: Наук. думка. 1984. 188 с.
- [5] Акуленко Л.Д., Лещенко Д.Д., Черноусько Ф.Л. Быстрое движение вокруг неподвижной точки тяжелого твердого тела в сопротивляющейся среде // Изв. АН СССР. Механика твердого тела. 1982. №3. С. 5–13.
- [6] Кузнецова Е.Ю., Сазонов В.В., Чебуков С.Ю. Эволюция быстрого вращения спутника под действием гравитационного и аэродинамического моментов // Изв. РАН. Механика твердого тела. 2000. №2. С. 3–14.
- [7] Волосов В.М., Моргунов Б.И. Метод усреднения в теории нелинейных колебательных систем. М.: Изд-во МГУ. 1971. 507 с.
- [8] Ландау Л.Д., Лифшиц Е.М. Теоретическая физика. М.: Наука. 1973. Т. 1. Механика. 208 с.
- [9] Градштейн И.С., Рыжик И.М. Таблицы интегралов, сумм, рядов и произведений. М.: Наука. 1971. 1108 с.
- [10] Черноусько Ф.Л. Движение твердого тела с полостями, заполненными вязкой жидкостью, при малых числах Рейнольдса // Ж. вычисл. матем. и матем. физ. 1965. Т. 5. № 6. С. 1049–1070.
- [11] Акуленко Л.Д. Схемы усреднения высших степеней в системах с быстрой и медленной фазами // Прикл. математика и механика. 2002. Т. 66. Вып. 2. С. 165–176.

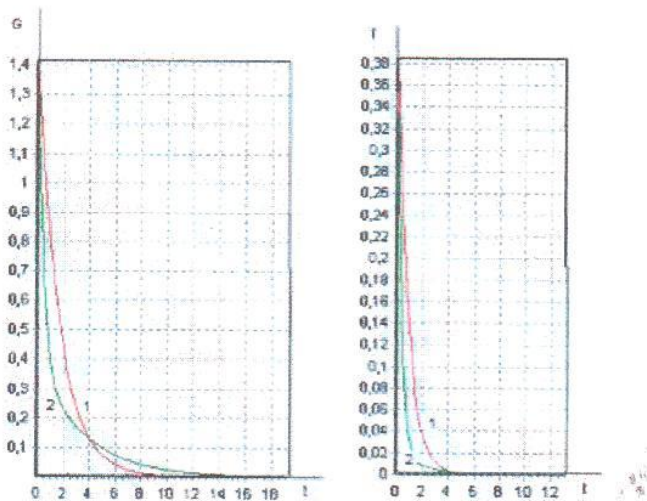


Рис. 1. Функции  $G(t)$  и  $T(t)$ .

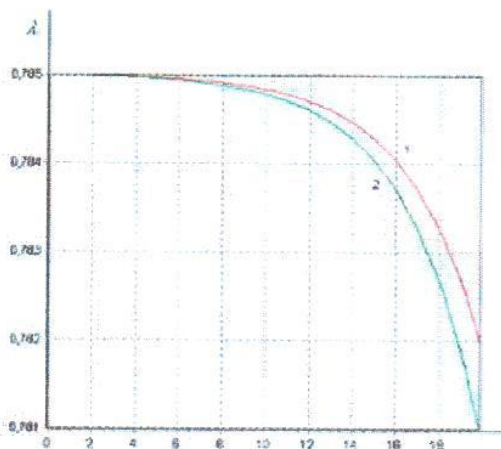


Рис. 2 График изменения угла  $\lambda$ .